

محاسبه جریان گرما مغناطیسی با استفاده از نوترونهای حاصل از واکنش همجوشی DT در پلاسمای گرما هسته‌ای

*سیده نسرین حسینی مطلق^۱، مهدی روستایی^۲، شیلان صید محمدی^۳، سمانه عظیم عراقی^۴

^۱دانشکده فیزیک دانشگاه علم و صنعت ایران، تهران

^۲دانشکده فیزیک دانشگاه علم و صنعت ایران، تهران

^۳دانشکده فیزیک دانشگاه علم و صنعت ایران، تهران

^۴دانشکده فیزیک دانشگاه علم و صنعت ایران، تهران

چکیده

در این مقاله هدف این است که نوترونهای آزاد شده از واکنش همجوشی $d-d$ را برای ایجاد کردن جریان گرما مغناطیسی در یک تاج پلاسمایی که پلاسمایی همجوشی را از طریق گرم کردن تاج با واکنشهای همجوشی احاطه نموده است، استفاده نمائیم. به دلیل اینکه سطح مقطعهای واکنش نوترون برای نوترونها کند بیشتر است، پیشنهاد می‌شود تا نوترونها را در کند کننده‌ای که جدای از پلاسمایی داغ قسمت تاج می‌باشد، کند نماییم و به این ترتیب از ساختاری شبیه به آنچه که در راکتور شکافت هسته‌ای ناهمگن روی میدهد، استفاده می‌کنیم. در اینجا تقویت خود کاتالیزور جریانهای گرما مغناطیسی با استفاده از افزایش آهنگ واکنش همجوشی از طریق یک افزایش در فشار پلاسما بوسیله فشار مغناطیسی جریان‌های گرما مغناطیسی ممکن بنظر می‌رسد. این امر مستلزم افزایش حاصل ضرب $n\tau$ به مقاداری بالاتر از معیار مشخصه لاوسون می‌باشد.

واژه‌های کلیدی: گرما مغناطیسی، نوترون، پلاسمایی همجوشی، دوتربیوم، تریتیوم.

مقدمه

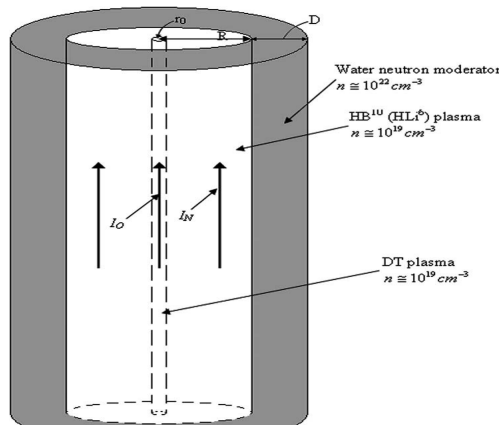
اهمیت جریانهای گرما مغناطیسی (اثر Nernst) برای محصور سازی پلاسماهای برای اولین بار توسط Grassmann و همکارانش مشاهده شد [1] و همینطور برای آزاد سازی انرژی از طریق همجوشی گرما هسته‌ای بوسیله Wintelberg به همراه Huang Hassam تشخیص داده شد [2]. در مقاله حال حاضر که پیش روی خوانندگان قرار می‌گیرد، منشاء تولید جریانهای گرما مغناطیسی (اثر Nernst) بوسیله گرمایی است که از واکنشهای هسته‌ای القا شده توسط نوترون ایجاد می‌شوند، که این نوترونها از یک پلاسمای گرما هسته‌ای می‌آیند. اثر Nernst در اینجا شبیه به یک دینامو عمل کرده و جریانهای گرما مغناطیسی را تقویت می‌کند و به این سبب فشار پلاسما به طور خود کاتالیز آهنگ واکنش گرما هسته‌ای را افزایش می‌دهد و در نهایت باعث می‌شود تا حاصل ضرب $n\tau$ بالاتر از مقدار مشخصه لاوسون بdest آید. یکی از زمینه‌های مورد علاقه در مطالعات همجوشی هسته‌ای واکنشهای هسته‌ای القایی مربوط به هسته‌های سبک بوبیزه ۱۰ و ۶ Ni می‌باشد. چون این مسئله با U_{238} و Th_{232} نیز مرتبط است، بنابراین نه تنها نوترون‌ها

* hosseinimotagh@iust.ac.ir

یک رهیافت کاملاً نوین را برای آزاد سازی انرژی پیشنهاد می‌کنند، بلکه راه جدیدی را برای سوختن در U_{238} و Th_{232} ایجاد کرده و نیاز به تولید زاینده سریع شکافت هسته‌ای را برطرف مینمایند.

روش کار

الف) توصیف ساختار جدید محصور سازی پلاسمای همانطور که در شکل (۱) نشان داده شده است، یک کanal تخلیه تنگشی خطی به شعاع r_0 ، توسط یک پوسته تاجی با دمای بالا و شعاع $r = R$ احاطه شده است و $r_0 > R$ می‌باشد این پوسته بوسیله یک کند کننده نوترونی چگال و انکاس دهنده ای به ضخامت D محصور گردیده است. در حالی که در مرکز ناحیه $r = r_0$ یک پلاسمای با دمای بالا توسط واکنشهای گرمای هسته‌ای نگه داشته می‌شود. در تاجی که قلب را احاطه می‌کند، دمای بالا از واکنشهای هسته‌ای القا شده توسط نوترون‌هایی که از پلاسمای همجوشی ایجاد می‌گردند، حادث می‌شود. نوترون‌های سریع اولیه ای که توسط واکنشهای همجوشی ایجاد می‌شوند باقی می‌شوند، زیرا سطح مقطع واکنش این نوترونهاست که به اندازه کافی بزرگ هستند. برای کند کردن نوترون‌ها یک ماده غنی از ثیدروژن مثلاً آب می‌تواند مورد استفاده قرار گیرد. در یک مخلوط همگن با هسته‌های سبک، یک محیط چگال غنی از هیدروژن دما را پائین می‌برد، این مقدار برای ایجاد جریانهای گرمای مغناطیسی بسیار کم می‌باشد. به همین دلیل است که پلاسمای با دانسیته پایین که از هسته‌های سبک ساخته می‌شود، باقی از نظر فضایی جدای از کند کننده نوترونی چگال قرار داشته باشد. این امر می‌تواند با قرار دادن کند کننده در یک پوسته استوانه‌ای شکل که پلاسمای دارای هسته‌های سبک را احاطه می‌کند و جریانهای گرمای مغناطیسی در آنجا ایجاد می‌شوند به انجام رسد.



شکل (۱): تخلیه تنگشی با جریان تاجی Nernst و کند کننده نوترونی [3]

ب) اثر گرمای هسته‌ای Nernst: با شرط $1 \ll \omega$ که در آن ω فرکانس سیکلotronی الکترونی و τ زمان دو برخورد متوالی الکترون می‌باشد، جریانهای گرمای مغناطیسی در یک پلاسمای مغناطیسی شده ایجاد می‌گردند که چگالی جریان آن از رابطه زیر بدست می‌آید:

$$\vec{j}_N = \frac{3kn_e c}{2H^2} \vec{H} \times \vec{\nabla} T \quad (1)$$

که در آن n دانسیته الکترون، H شدت میدان مغناطیسی و T دمای مطلق می باشد، با داشتن $n_i = n_e / Z$ و $n = n_e + n_i$ که $n_e = [Z/(Z+1)]n$ است). رابطه بصورت زیر در می آید:

$$\vec{j}_N = \frac{3knc}{2H^2} \frac{Z}{Z+1} \vec{H} \times \vec{\nabla} T \quad (2)$$

با وارد کردن $\vec{j} = \vec{j}_N$ در معادله مگنتو هیدروستاتیک داریم : $p = nkT$ برای $\vec{\nabla} p = \frac{1}{c} \vec{j} \times \vec{H}$ وبا قرار دادن $\vec{\nabla} T$ عمود بر \vec{H} ، داریم :

$$nk \vec{\nabla} T + kT \vec{\nabla} n = \frac{3}{2} nk \frac{Z}{Z+1} \vec{\nabla} T \quad (3)$$

و با کمی ساده سازی داریم: $a = \frac{2-Z}{2(Z+1)}$ که در آن $a \frac{\vec{\nabla} T}{T} + \frac{\vec{\nabla} n}{n} = 0$ و در نتیجه خواهیم داشت :

$T^a n = const$. برای یک پلاسمای یکبار یونیزه $Z=1$ داریم: ثابت $T^{1/4} n = \text{const}$. بنابراین n وابستگی شدیدی به T ندارد، یعنی برخلاف پلاسمایی با فشار ثابت که برای آن داریم: $Tn = \text{const}$. این نشان می دهد که جریان های گرمای مغناطیسی می توانند به طور چشمگیری توزیع فشار در داخل یک پلاسمای مغناطیسی شده را تغییر دهد.

ج) حل معادله پخش نوترون: برای توصیف کردن پخش نوترونهای سریعی که از واکنشهای همجوشی ایجاد می شوند، از معادله تعديل یافته مستقل از زمان پخش استفاده می کنیم: $\nabla^2 \phi - k^2 \phi = 0$ ، که ϕ شار نوترونهای گرمایی می باشد و

$$k = \frac{1}{\sqrt{L^2 + \tau_f}} \quad \text{که در آن } L \text{ طول پخش و } \tau_f \text{ سن فرمی نوترونی در}$$

کندکننده می باشد. برای آب که یک کندکننده خوب نوترونی می باشد، داریم $L \approx 10 \text{ cm}$. بجای k مناسبتر است تا سطح مقطع کندشوندگی را که با $n \sigma_c = k$ تعریف می شود، معرفی کنیم. در مختصات

$$\frac{\partial^2 \phi}{\partial r^2} + \frac{2}{r} \frac{\partial \phi}{\partial r} - k^2 \phi = 0 \quad \text{استوانه ای معادله} \quad \nabla^2 \phi - k^2 \phi = 0 \quad \text{بصورت} \quad \frac{\partial^2 \phi}{\partial r^2} + \frac{2}{r} \frac{\partial \phi}{\partial r} - k^2 \phi = 0 \quad \text{می باشد. با اعمال شرط بهنجارش در ازای} \quad r = r_0 \quad \phi = \phi_0 N^{-1} = K_0(kr_0) \quad \text{و} \quad K_0(kr_0) = \phi_0 N K_0(kr_0) \quad \text{تابع بسل مرتبه صفر نوع}$$

دوم می باشد که دارای رفتار مجانبی بصورت زیر است:

$$K_0(kr) = \sqrt{\frac{\pi}{2kr}} e^{-kr}, \quad kr \gg 1 \quad (4)$$

د) انتقال و تولید گرما: در پلاسمای مغناطیسی شده ای که دارای هسته های سبک می باشد، معادله تولید گرما و رسانش برای یک پلاسمای Z بار یونیزه عبارت است از:

$$\frac{Z+1}{2} nk \frac{\partial T}{\partial t} + \operatorname{div} \vec{j} = S \quad (5)$$

که در آن: $\vec{j} = -k_{\perp} \nabla T$ و $S = n_a \sigma \phi \epsilon$. در این معادلات k_{\perp} ضریب هدایت گرمایی در حضور یک میدان مغناطیسی عرضی قوی می‌باشد که به ازای $1 >> \omega \tau$ صادق است. S چشمی تولید گرما، n_a دانسیته هسته‌های سبک، σ سطح مقطع واکنش هسته‌ای و ϵ انرژی واکنش هسته‌ای می‌باشد. برای دانسیته عددی پلاسمای قرار می‌دهیم: $n = n_a + n_h$. که ما فرض کرده ایم که پلاسمای دارای هیدروژن نیز می‌باشد؛ اما با این محدودیت که n_h بایستی به اندازه کافی کوچک باشد تا دمای پلاسمای را برای اطمینان از شرط $1 >> \omega \tau$ بالا نگه دارد. حضور هیدروژن این مزیت را دارد که در کندسازی نوترونها مشارکت می‌کند که انرژی جنبشی کند شدن نوترون در این ناحیه بایستی به ϵ اضافه شود. برای استخراج برخی نتایج، ما این جزئیات نسبتاً پیچیده را با قرار دادن $Z=1$ و $n_a \sim n$ ساده می‌کنیم که $Z=1$ برای هیدروژن معتبر است. بنابراین داریم:

$$3nk \frac{\partial T}{\partial t} = k_{\perp} \nabla^2 T + n \sigma \epsilon \phi \quad (6)$$

و در مختصات استوانه‌ای به صورت زیر است:

$$\frac{\partial T}{\partial t} = \frac{k_{\perp}}{3nk} \left(\frac{\partial^2 T}{\partial r^2} + \frac{1}{r} \frac{\partial T}{\partial r} \right) + \frac{\sigma \epsilon}{3k} \phi \quad (7)$$

برای حل معادله (7) از رابطه $\phi = \phi_0 NK_0(kr_0)g(t)$ و $T = NK_0(kr)g(t)$ استفاده نموده و داریم:

$$\frac{dg}{dt} = -\frac{k_{\perp}}{3nk} g + \frac{\sigma \epsilon}{3k} \phi_0 \quad (8)$$

به ازای $g(0) = 0$ رابطه (8) دارای جوابی بصورت $g(t) = T_{\max} (1 - e^{-\frac{t}{\tau_0}})$ است. که در آن $\tau_0 = \frac{3nk}{k_{\perp} k^2}$ می‌باشد. شار نوترونی در سطح یک استوانه پلاسمایی DT درحال سوختن که شعاع آن r_0 می‌باشد که با رابطه $\phi_0 = (r_0/8) \langle \sigma v \rangle n^2$ داده می‌شود [4]، که در طول یک توزیع ماقسولی، حاصلضرب میانگین گیری شده سطح مقطع واکنش همچو شی DT در سرعت نسبی ذرات می‌باشد. برای ضریب هدایت گرمایی رابطه زیر را داریم [5-6]:

$$k_{\perp} = \frac{1.5 \times 10^{-16} n^2}{T^{1/2} H^2} \left(\frac{erg}{cmsK} \right) \quad (9)$$

هـ) جریان گرمامغناطیسی و معادله Bennenttt: همانگونه که قبلًاً دیده بودیم، در حضور جریان‌های گرمامغناطیسی، دانسیته پلاسمای به عنوان تابعی از دما چندان تغییر نمی‌کند. به ازای $Z=1$ $n \propto T^{-1/4}$ می‌باشد، و به ازای $Z=1$ ، ثابت $n \propto T^{1/2}$ ، برای $n \rightarrow \infty$ می‌باشد. یک نتیجه ساده خاص به ازای $Z=2$ بدست می‌آید که در آن n ثابت است. در آنجا دانسیته جریان گرمای مغناطیسی عبارت است از:

$$j_N = -\frac{knc}{H} \frac{dT}{dr} . \text{ جریان کل گرمای مغناطیسی } I_N \text{ با استفاده از انتگرال گیری بدست می‌آید:}$$

$$I_N = \int_{r_0}^r j_N 2\pi r dr = -2\pi knc \int_{T_0}^T \frac{r}{H} dT \quad (10)$$

با جایگذاری $H = 2I_N/rc$ در رابطه (10) و با مشتق گیری از آن و ترکیب آن با روابط (۵) و (۹) داریم:

$$I_N^2 = \frac{2\pi}{3} knc^2 r_0^2 T_0^4 \left[\frac{1}{T^3} - \frac{1}{T_0^3} \right] \quad (11)$$

برای مقادیر بزرگ r هنگامی که $T < T_0$ بدست می‌آوریم:

برای $I_N^2 \approx (2\pi/3)nr^2c^2kT, T_0 \gg T$ با داشتن $I_N^2 \approx (2\pi/3)nr_0^2c^2kT_0$ داریم:

$$I_N/I_0 = (r_0/r)(T/T_0)^{1/2} = (r/r_0)^{3/4} \quad (12)$$

و) احتراق

انرژی احتراق یک کanal تخلیه تنگشی به شعاع r و طول l با رابطه زیر داده می‌شود:

$$E_{ign} = \pi r_0^2 \ln kT \approx \pi r_0^2 (H^2/8\pi) l \approx (1/8)(Hr_0)^2 l \quad (13)$$

اگر $I = 2E_{ign}/l = 1(Vs)$ لذا $E_{ign} = (1/200)I^2 l$ داریم: $Hr_0 = 0.2I$ که در آن L ضریب خود القایی کanal تخلیه تنگش می‌باشد. کanal تخلیه تنگشی با یک باریکه لیزر در گاز DT می‌تواند ایجاد گردد و باقیستی در مدت زمان s $t \langle t_0 = 10^{-3}$ برقرار شود. بنابراین بدلیل اینکه $V = \frac{d}{dt}(LI)$ می‌باشد، نتیجه می‌شود که $V \approx 10^5 V$ با انتخاب $t \approx 10^{-5} s$ داریم: $V \langle (LI)/t_0 \approx 10^3 V$. این ولتاژ به نسبت پائین امکان استفاده از وسایل ذخیره کننده انرژی القاگر را برای ایجاد کanal تخلیه تنگشی فراهم می‌آورد.

نتایج

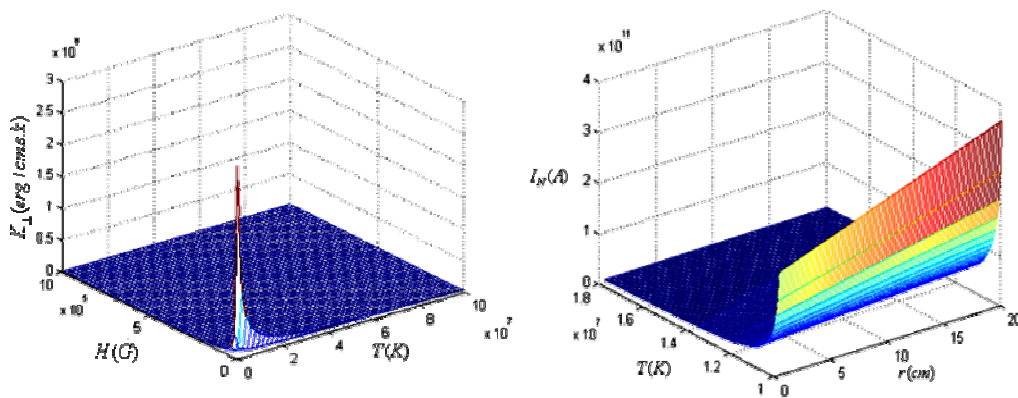
در اینجا با توجه به معادله (۹) ضریب هدایت گرمایی را محاسبه نموده و نتایج حاصل از آن را در شکل (۱) آورده ایم. این شکل نمودار تغییرات سه بعدی k_{\perp} را به صورت تابعی از دما $T(KeV)$ و میدان مغناطیسی H در ازا انتخاب $n = 10^{-19} cm^{-3}$ نمایش میدهد. با توجه به این نمودار دیده می‌شود که به ازای انتخاب

$$H \sim 10^6 G, T \sim 10^8 K, n \sim 10^{19} cm^{-3}$$

با توجه به معادله (۱۲) بر حسب دما و فاصله رسم کرده و در شکل (۲) آورده ایم.

جدول (۱) مقادیر عددی محاسبه شده و در ازا انتخاب $I(A)$, $E_{ign}(erg)$, $L(H)$ و $H(G)$

$I(A)$	10	310	1495	4960
$E_{ign}(erg) \times 10^{13}$	0.61	1.29	2.5	5.0
$L(H) \times 10^{11}$	1.22	0.003	0.0002	0.00004
$H(G) \times 10^6$	1.4	2.0	2.8	4.0



شکل(۱):نمودار تغییرات سه بعدی E_{ign} به صورت تابعی از دما و میدان مغناطیسی

جدول (۱) نیز مقادیر عددی محاسبه شده E_{ign} و I و L و H را در ازای انتخاب $l = 10^2 \text{ cm}$ و $Hr_0 = 0.21$ نشان می دهد.

بحث و نتیجه گیری

چهره جذاب مفهوم پیشنهاد شده آن است که از شکافت هسته های سبک استفاده می کند با این عمل از ضایعات ناشی از فرآورده های شکافت در راکتورهای هسته ای که از U_{235} یا Pu_{235} استفاده می کنند اجتناب می شود. اما همین پیشنهاد برای سوختن U_{238} یا Th_{232} می تواند مورد استفاده نیز قرار بگیرد. اما بدليل اينكه عناصر سنگين نظير U_{238} و Th_{232} داراي opulosity بزرگی می باشند، اتلافهای ناشی از تابش در پلاسمایی که دارای U_{238} و Th_{232} می باشد، می تواند دما را از حد آستانه توليد جريانهای مغناطیسی که پایین تر بيرد. اين مسئله می تواند با جدایش فضای Th_{232} یا U_{238} از يك پلاسمای ئيدروژني با تزريقي U_{238} و Th_{232} به شكل قرصهای کوچک يا ذرات با قطر U_{238} کوچک گازی شکل به داخل پلاسمای ئيدروژني (بين r و R) حل شود. در آنجا فرآورده های شکافت با انرژي چند مگا الکترون ولتي در پلاسمای ئيدروژني بدون از دست رفتن انرژي محسوس متوقف شده و پلاسما را تا دماهای بالايی که برای توليد جريانهای گرم مغناطیسي مورد نياز هستند، گرم می کند.

مراجع

- [1] P.H.Grassmann,O.Klüber, and H.Wulff, Phys.Lett.,24A,324 (1967)
- [2] F.Winterberg, Contrib.PlasmaPhys.25,117(1985)
- [3] F.Winterberg , physics of plasma13,032501 (2006)
- [4] F.Winterberg,Z.Naturforsch.,A:Phys.Sci.58,612(2003)
- [5] S.Glassstone and M.C.Edlund ,The Elements of Nuclear Reactor Theory (VanNostr and Company , New York ,1952) ,pp.216,184, and 229
- [6] L.Spitzer, Physics of Fully Ionized Gases , 2nd edition (Wiley Interscience , New York , 1962) p.145